

Travaux dirigés sur la résolution numérique des équations du mouvement.

Nom Chinois: CAI Pengfei
Pénom français: Vincent
Numéro d'étudiant: SY1724107

On fournit deux versions de code, les codes matlab sont juste après les codes python.

Oscillateur conservatif linéaire à un degré de liberté

1 Solution Analytique

1.1) Pour l'équation

$$\ddot{q} + \omega_0^2 q = 0 \quad (1)$$

On associe son équation caractéristique $r^2 + \omega_0^2 = 0$. On a deux solutions pour cette équation: $r_1 = i\omega_0$ et $r_2 = -i\omega_0$. Donc on propose la solution générale de l'équation (1) est:

$$q = C_1 \cos(\omega_0 t) + C_2 \sin(\omega_0 t)$$

D'après les conditions initiales, $\omega_0 = 2\pi \text{ rad.s}^{-1}$, $q(t=0) = 1$ et $\dot{q}(t=0) = 0$, on a $C_1 = 1$, $C_2 = 0$.
Donc:

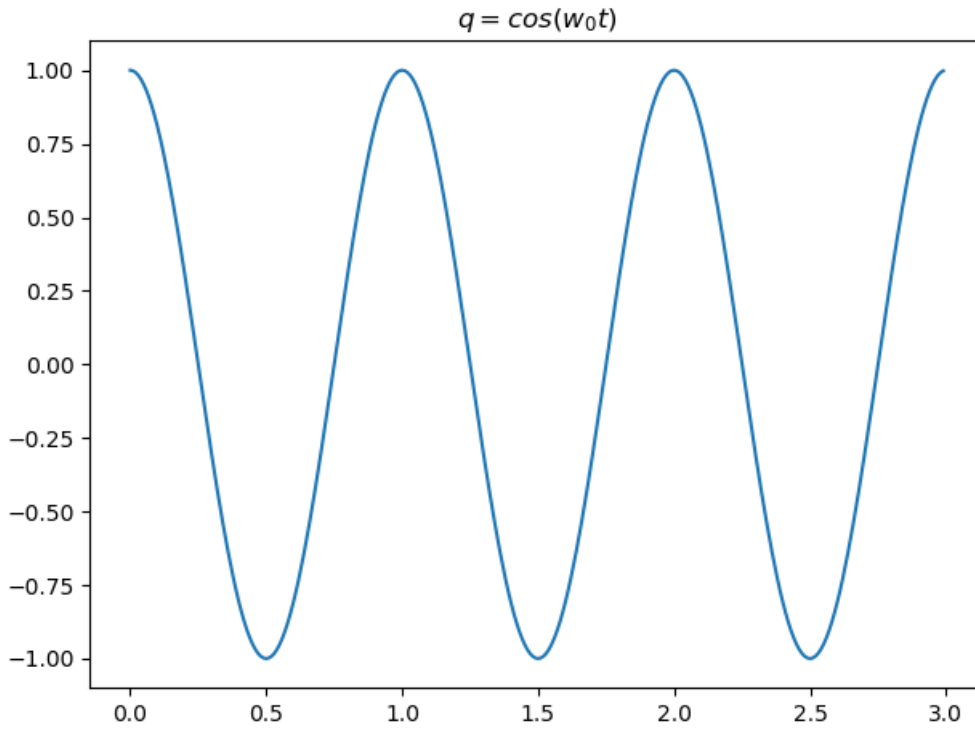
$$q = \cos(\omega_0 t)$$

```
import matplotlib.pyplot as plt
import numpy as np
if __name__ == '__main__':
    t = np.arange(0, 3, 0.01)
    w_0 = 2*np.pi
    q = np.cos(w_0*t)
    plt.plot(t, q)
    plt.title(r"$q = \cos(w_0 t)$")
    plt.show()
```

code matlab

```
t = 0:0.01:3;
w0 = 2*pi;
q = cos(t);
plot(t, q)
```

Et on a la figure ci-dessous:



1.2) E^* est définie par la relation $E^* = \frac{1}{2}(\dot{q}^2 + \omega_0^2 q^2)$, donc on a

$$E^* = \frac{\omega_0^2}{2}$$

Donc l'énergie mécanique de l'oscillateur reste la même.

2. Euler Explicite

2.1) comme on a équation (1), on le multiplie par Δt donc on a

$$\Delta t \ddot{q} + \Delta t \omega_0^2 q = 0$$

Donc on a $\Delta t \ddot{q} = -\Delta t \omega_0^2 q$. D'après l'équation (5), on a $\dot{q}_{j+1} = \dot{q}_j + \Delta t \ddot{q}_j$. on a:

$$\dot{q}_{j+1} = -\Delta t \omega_0^2 q_j + \dot{q}_j$$

Et comme $q_{j+1} = q_j + \Delta t \dot{q}_j$. On a bien l'équation (5).

$$\begin{bmatrix} q_{j+1} \\ \dot{q}_{j+1} \end{bmatrix} = \begin{bmatrix} 1 & \Delta t \\ -\omega_0^2 \Delta t & 1 \end{bmatrix} \begin{bmatrix} q_j \\ \dot{q}_j \end{bmatrix} \quad (5)$$

2.2) code pour la programmation en utilisant la méthode 2:

```

import matplotlib.pyplot as plt
import numpy as np
if __name__ == '__main__':
    delta_t = 0.01
    w_0 = 2*np.pi
    T_0 = 3
    A = np.array([[1, delta_t],[-w_0*w_0*delta_t, 1]])
    etat_init = np.array([1, 0])
    # transpose
    etat_init = etat_init.reshape(-1, 1)

    i = 0
    q_list = []
    t_list = []
    etat_i = etat_init
    t_list.append(i*delta_t)
    q_list.append(etat_i[0][0])
    while(i*delta_t < T_0):
        etat_i = A.dot(etat_i)
        i = i+1
        t_list.append(i * delta_t)
        q_list.append(etat_i[0][0])

    plt.plot(t_list, q_list)
    plt.title("euler explicite")
    plt.show()

```

code matlab

```

delta_t = 0.01;
w_0 = 2*pi;
T_0 = 3;
A = [1, delta_t; -w_0*w_0*delta_t, 1];
etat_init = [1; 0];

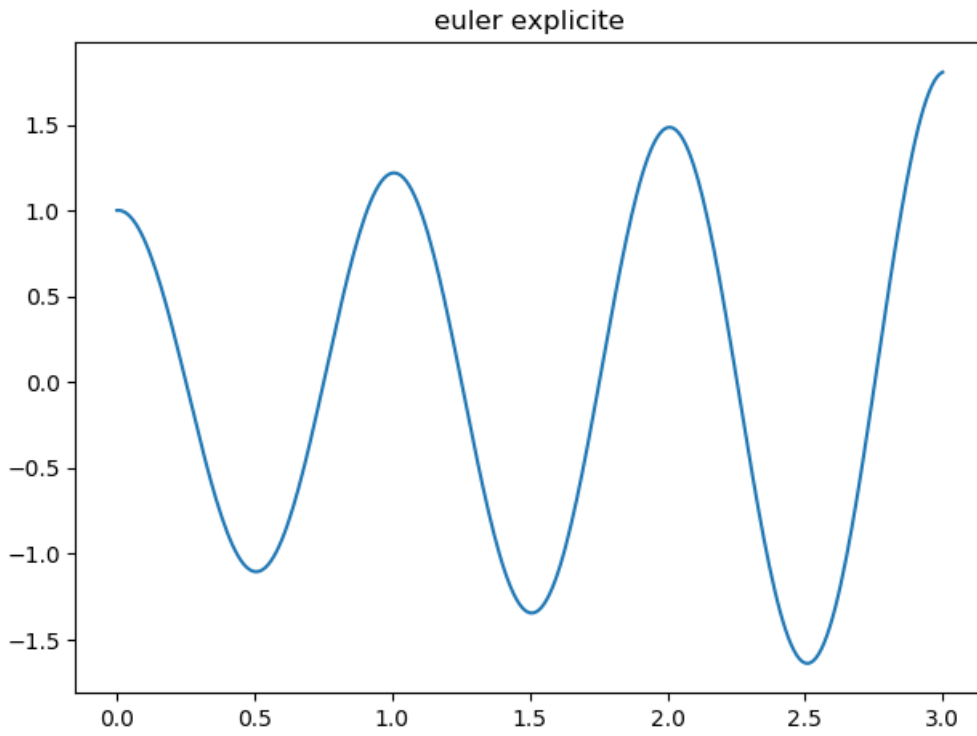
i = 0;
q_list = [];
t_list = [];
etat_i = etat_init;
t_list = [t_list, i*delta_t];
q_list = [q_list, etat_i(1, 1)];

while(i*delta_t < T_0)
    etat_i = A*etat_i;
    i = i + 1;
    t_list = [t_list, i*delta_t];
    q_list = [q_list, etat_i(1, 1)];
end

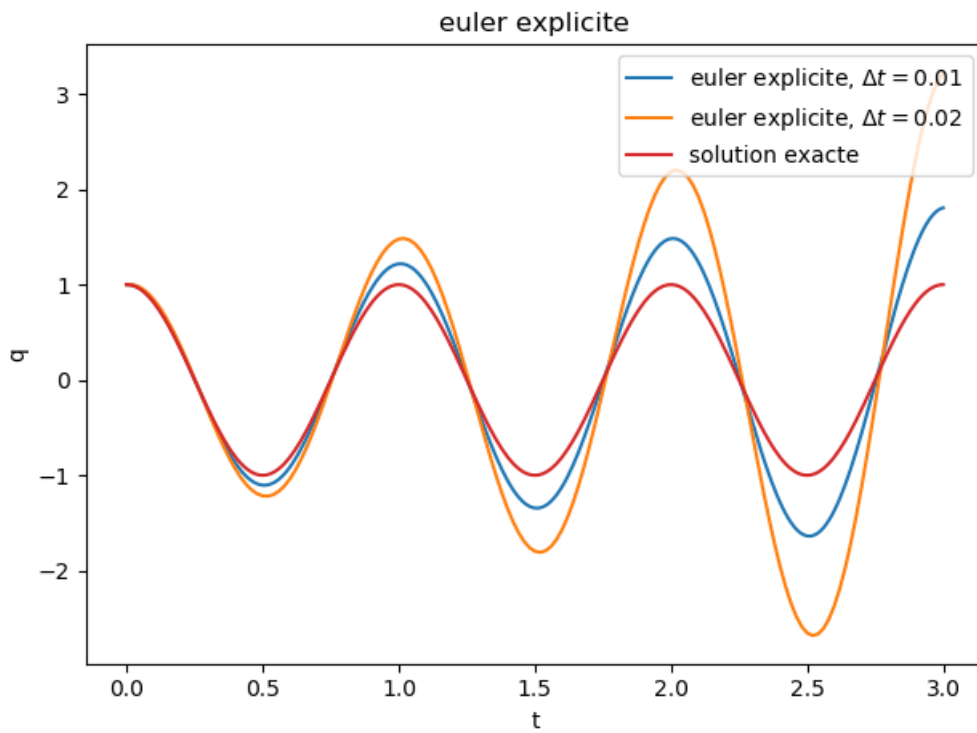
plot(t_list, q_list)
title('euler explicite')

```

on a la figure ci-dessous:

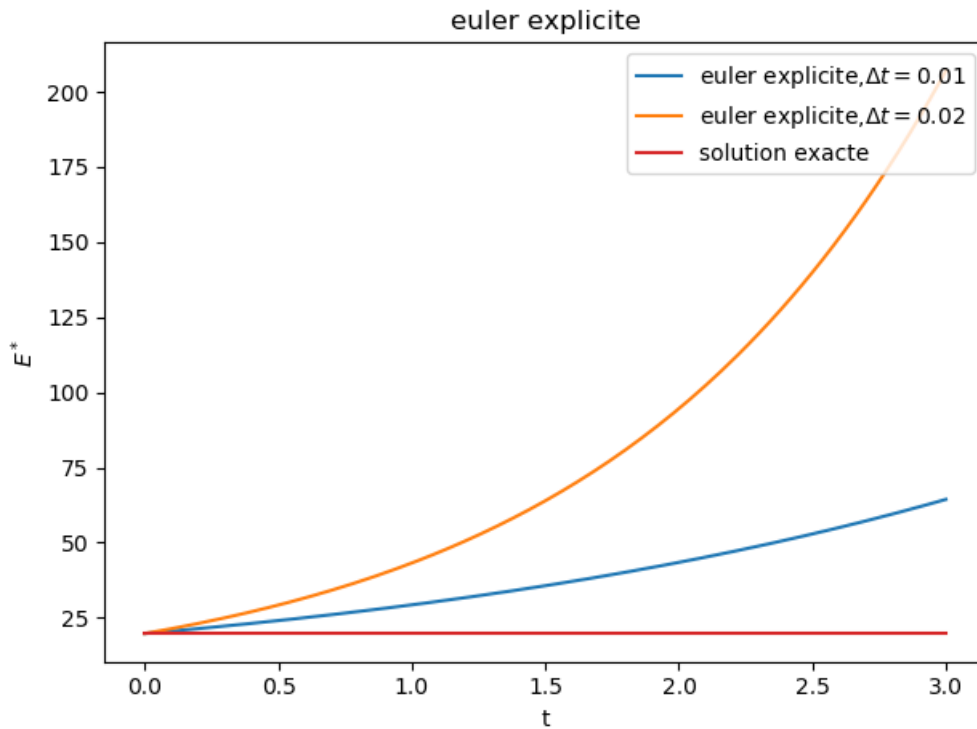


2.3) on a trois courbes ci-dessous



on peut voir très clairement, quant le temps Δt est petit, plus la divergence est lente.

2.4) on a la figure ci-dessous:



Donc pour la méthode euler explicite, l'énergie mécanique de l'oscillateur devient de plus en plus grand. Plus la valeur Δt grand, l'énergie augmente plus vite.

2.5) On suppose:

$$A = \begin{bmatrix} 1 & \Delta t \\ -w_0^2 \Delta t & 1 \end{bmatrix}$$

D'après la définition de valeur propre, on a $Ax = \lambda x$. x est vecteur propre. on a $(\lambda I - A)x = 0$.

$$\lambda I - A = \begin{bmatrix} \lambda - 1 & -\Delta t \\ w_0^2 \Delta t & \lambda - 1 \end{bmatrix}$$

Il faut calculer $\det(\lambda I - A)$

$$\det(\lambda I - A) = (\lambda - 1)^2 + w_0^2 \Delta^2 t = 0$$

Donc:

$$\lambda = 1 \pm iw_0 \Delta t$$

On a vu $|\lambda| > 1$, Donc il y a forcément une divergence, le courbe n'est pas stable.

3. Euler Implicite

3.1) Pour euler implicite, on a matrice A :

$$A = \begin{bmatrix} \frac{1}{1+w_0^2 \Delta^2 t} & \frac{\Delta t}{1+w_0^2 \Delta^2 t} \\ \frac{-w_0^2 \Delta t}{1+w_0^2 \Delta^2 t} & \frac{1}{1+w_0^2 \Delta^2 t} \end{bmatrix}$$

code python:

```

import matplotlib.pyplot as plt
import numpy as np

def calculate_E(q, q_dot, w_0):
    E = 0.5*(q_dot*q_dot + w_0*w_0*q*q)
    return E

def obtenir_lists(delta_t):
    w_0 = 2*np.pi
    T_0 = 3
    A = np.array([[1./(1.+w_0*w_0*delta_t*delta_t), delta_t/(1.+w_0*w_0*delta_t*delta_t)],
                  [-w_0*w_0*delta_t/(1. + w_0*w_0*delta_t*delta_t), 1./(1.+w_0*w_0*delta_t*delta_t)])
    etat_init = np.array([1, 0])
    # transpose
    etat_init = etat_init.reshape(-1, 1)

    i = 0
    q_list = []
    t_list = []
    E_list = []
    E_standard = []
    etat_i = etat_init
    t_list.append(i*delta_t)
    q_list.append(etat_i[0][0])
    E_list.append(calculate_E(etat_i[0][0], etat_i[1][0], w_0))
    E_standard.append(w_0*w_0/2.0)

    while(i*delta_t < T_0):
        etat_i = A.dot(etat_i)
        i = i+1
        t_list.append(i * delta_t)
        q_list.append(etat_i[0][0])
        E_list.append(calculate_E(etat_i[0][0], etat_i[1][0], w_0))
        E_standard.append(w_0 * w_0 / 2.0)

    return t_list, q_list, E_list, E_standard

if __name__ == '__main__':

    dt1 = 0.01
    dt2 = 0.02

    t_list1, q_list1, e_list1, e_standard1 = obtenir_lists(dt1)
    plt.plot(t_list1, q_list1, color="C0", label=r"euler implicite, $\Delta t = {}$".format(dt1))

    plt.ylabel("q")
    plt.xlabel("t")
    plt.legend()
    plt.title("euler implicite")
    plt.show()

```

code matlab

calculate_E.m

```

function E = calculate_E(q, q_dot, w_0)

E = 0.5*(q_dot*q_dot + w_0*w_0*q*q);

end

```

obtenir_lists.m

```

function [t_list, q_list, E_list, E_standard] = obtenir_lists(delta_t)

w_0 = 2*pi;
T_0 = 3;
A = [1./(1.+w_0*w_0*delta_t*delta_t), delta_t/(1.+w_0*w_0*delta_t*delta_t);
     -w_0*w_0*delta_t/(1. + w_0*w_0*delta_t*delta_t), 1.0/(1.+w_0*w_0*delta_t*delta_t)];
etat_init = [1, 0];

etat_init = etat_init';

i = 0;
q_list = [];
t_list = [];
E_list = [];
E_standard = [];
etat_i = etat_init;
t_list = [t_list, i*delta_t];
q_list = [q_list, etat(1, 1)];
E_list = [E_list, calculate_E(etat_i(1, 1), etat_i(2, 1), w_0)];
E_standard = [E_standard, w_0*w_0/2.0];

while(i*delta_t < T_0)
    etat_i = A*etat_i;
    i = i+1;
    t_list = [t_list, i*delta_t];
    q_list = [q_list, etat_i(1, 1)];
    E_list = [E_list, calculate_E(etat_i(1, 1), etat_i(2, 1), w_0)];
    E_standard = [E_standard, w_0*w_0/2.0];
end

end

main.m

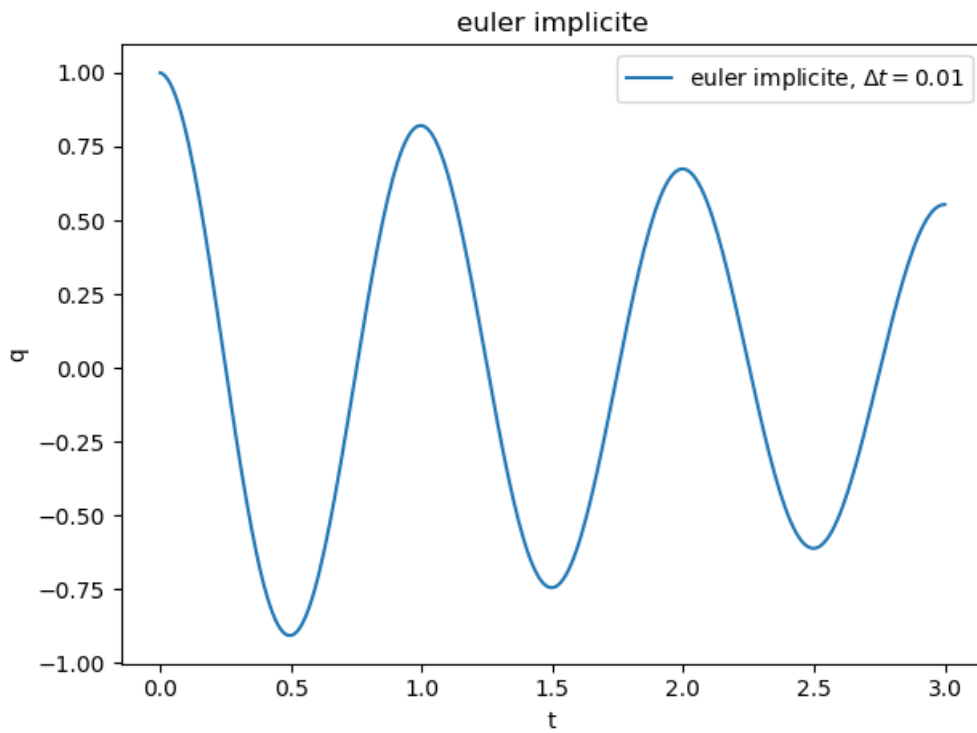
dt1 = 0.01;
dt2 = 0.02;

[t_list1, q_list1, e_list1, e_standard1] = obtenir_lists(dt1);
plot(t_list1, q_list1, 'DisplayName', sprintf('euler implicite, dt=%0.2f', dt1))

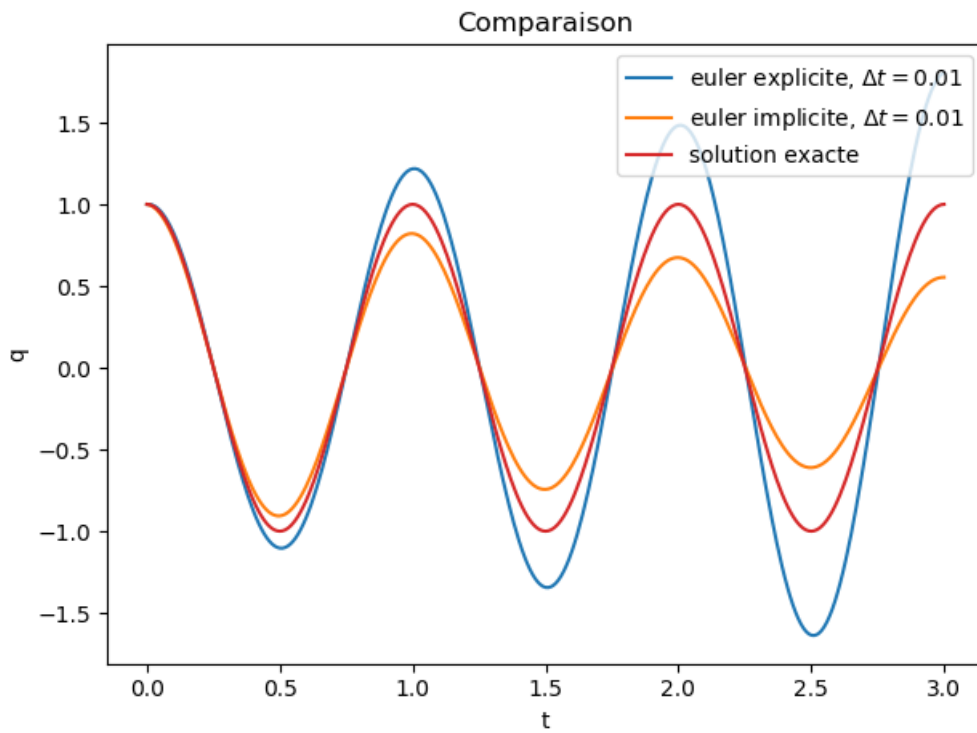
ylabel('q')
xlabel('t')
title('euler implicite')

```

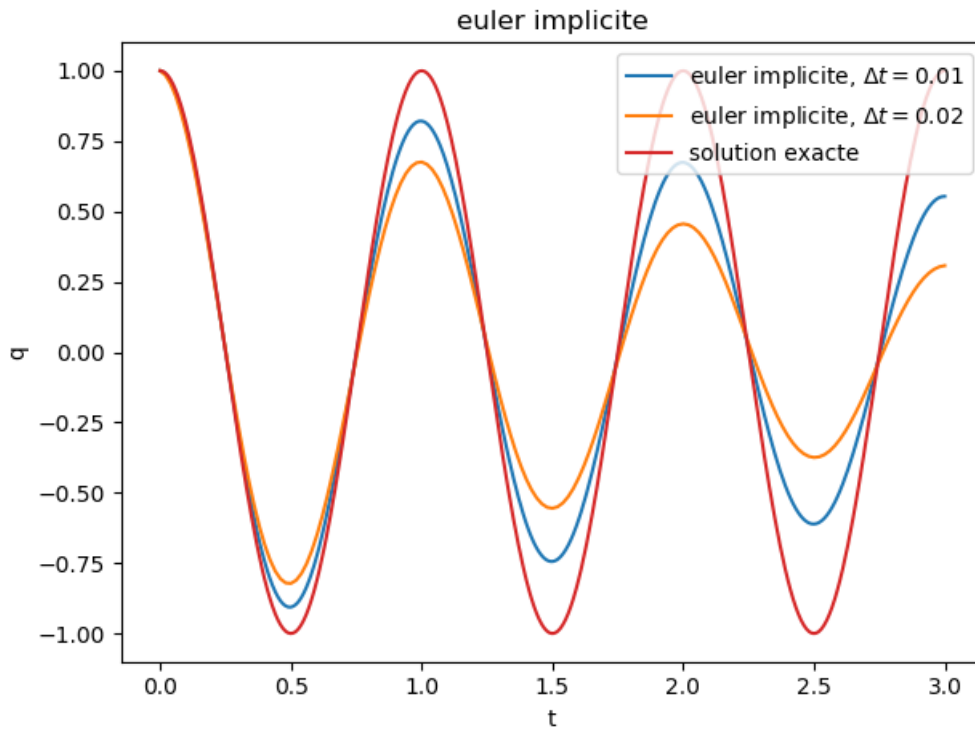
On a la figure:



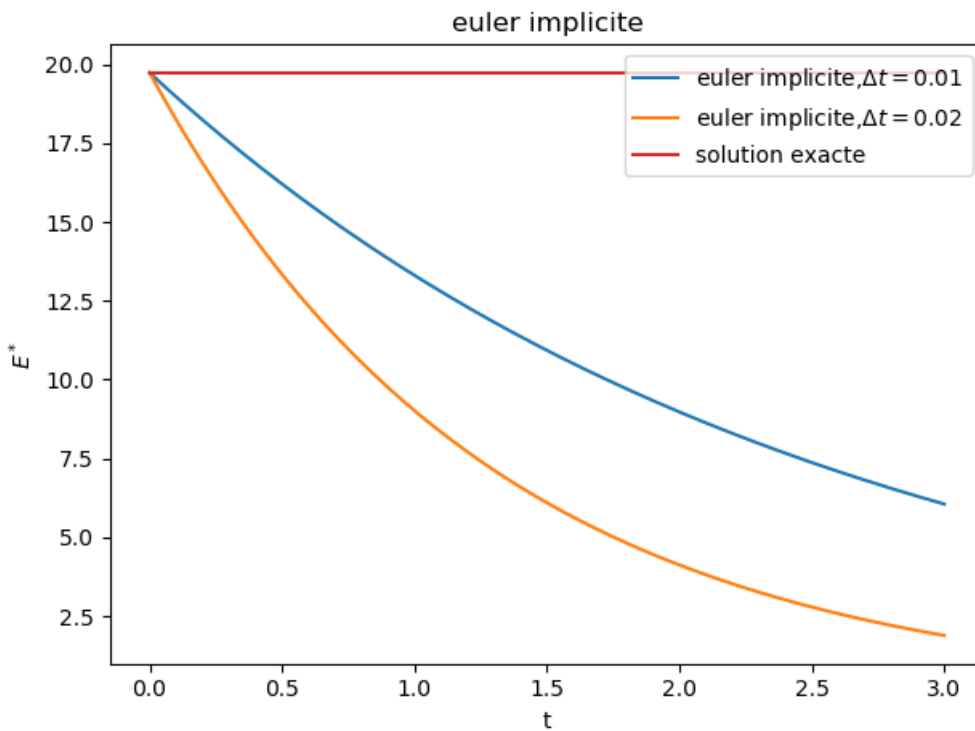
3.2) On a la figure ci-dessous pour 3 solutions différents:



3.3) Pour la différents pas, on peut voir très clairement, plus le pas Δt est petit, plus l'atténuation des oscillations est faible.



3.4) on a la figure ci-dessous:



Donc pour la méthode euler implicite, l'énergie mécanique de l'oscillateur devient de plus en plus petit. Plus la valeur Δt grand, l'énergie descend plus vite.

3.5) On suppose:

$$A = \begin{bmatrix} \frac{1}{1+w_0^2\Delta^2t} & \frac{\Delta t}{1+w_0^2\Delta^2t} \\ \frac{-w_0\Delta t}{1+w_0^2\Delta^2t} & \frac{1}{1+w_0^2\Delta^2t} \end{bmatrix}$$

D'après la définition de valeur propre, on a $Ax = \lambda x$. x est vecteur propre. on a $(\lambda I - A)x = 0$.

$$\lambda I - A = \begin{bmatrix} \lambda - \frac{1}{1+w_0^2\Delta^2t} & \frac{-\Delta t}{1+w_0^2\Delta^2t} \\ \frac{w_0^2\Delta t}{1+w_0^2\Delta^2t} & \lambda - \frac{1}{1+w_0^2\Delta^2t} \end{bmatrix}$$

Il faut calculer $\det(\lambda I - A)$

$$\det(\lambda I - A) = \left(\lambda - \frac{1}{1+w_0^2\Delta^2t}\right)^2 + \frac{w_0^2\Delta^2t}{(1+w_0^2\Delta^2t)^2} = 0$$

Donc:

$$\lambda = \frac{1 \pm iw_0\Delta t}{1+w_0^2\Delta^2t}$$

On a vu $|\lambda| < 1$, Donc il est bien stable. Et il y a une atténuation aussi.

4 Runge Kutta

4.1) Supposons que $\Omega = \dot{q}$. Donc on a deux équations adaptées au schéma du premier ordre.

$$\dot{q} = \Omega$$

$$\dot{\Omega} = -w_0^2 q$$

Donc on a

$$\begin{cases} k_1 = \Omega_0 \\ j_1 = -w_0^2 q_0 \\ k_2 = \Omega_0 + \frac{j_1 \Delta t}{2} \\ j_2 = -w_0^2 \left(q_0 + \frac{k_1 \Delta t}{2}\right) \\ k_3 = \Omega_0 + \frac{j_2 \Delta t}{2} \\ j_3 = -w_0^2 \left(q_0 + \frac{k_2 \Delta t}{2}\right) \\ k_4 = \Omega_0 + j_3 \Delta t \\ j_4 = -w_0^2 (q_0 + k_3 \Delta t) \end{cases}$$

Donc on a bien

$$q_1 = q_0 + \frac{1}{6}(k_1 + 2k_2 + 2k_3 + k_4)\Delta t$$

et

$$\Omega_1 = \Omega_0 + \frac{1}{6}(j_1 + 2j_2 + 2j_3 + j_4)\Delta t$$

4.2) code python:

```

import matplotlib.pyplot as plt
import numpy as np

def one_step(q0, omega0, w0, deltaT):
    k1 = omega0
    j1 = -w0 * w0 * q0
    k2 = omega0 + j1 * deltaT / 2.
    j2 = -w0 * w0 * (q0 + k1 * deltaT / 2)
    k3 = omega0 + j2 * deltaT / 2
    j3 = -w0 * w0 * (q0 + k2 * deltaT / 2)
    k4 = omega0 + j3 * deltaT
    j4 = -w0 * w0 * (q0 + k3 * deltaT)

    q1 = q0 + (k1 + 2 * k2 + 2 * k3 + k4) * deltaT / 6.
    omega1 = omega0 + (j1 + 2 * j2 + 2 * j3 + j4) * deltaT / 6.
    return q1, omega1

def runge_kutta(deltaT, T0, q0, omega0, w0):
    t_list = []
    q_list = []

    i = 0
    t_list.append(i * deltaT)
    q_list.append(q0)
    q = q0
    omega = omega0
    while (i * deltaT < T0):
        q, omega = one_step(q, omega, w0, deltaT)
        i = i + 1
        t_list.append(i * deltaT)
        q_list.append(q)

    return t_list, q_list

if __name__ == '__main__':
    delta_t = 0.01
    T0 = 3

    # etat initial
    q0 = 1
    omega0 = 0
    w0 = 2*np.pi

    t_list, q_list = runge_kutta(delta_t, T0, q0, omega0, w0)
    plt.plot(t_list, q_list, color="C2", label="runge kutta, $\Delta t = {}".format(delta_t))
    plt.ylabel("q")
    plt.xlabel("x")
    plt.title("Runge Kutta")
    plt.legend()
    plt.show()

```

code matlab:

one_step.m

```

function [q1, omega1] = one_step(q0, omega0, w0, deltaT)

k1 = omega0;
j1 = -w0 * w0 * q0;
k2 = omega0 + j1 * deltaT / 2.0;
j2 = -w0 * w0 * (q0 + k1 * deltaT / 2);
k3 = omega0 + j2 * deltaT / 2;
j3 = -w0 * w0 * (q0 + k2 * deltaT / 2);
k4 = omega0 + j3 * deltaT;
j4 = -w0 * w0 * (q0 + k3 * deltaT);

q1 = q0 + (k1 + 2 * k2 + 2 * k3 + k4) * deltaT / 6.0;
omega1 = omega0 + (j1 + 2 * j2 + 2 * j3 + j4) * deltaT / 6.0;

end

```

runge_kutta.m

```

function [t_list, q_list] = runge_kutta(deltaT, T0, q0, omega0, w0)

t_list = [];
q_list = [];

i = 0;
t_list = [t_list, i*deltaT];
q_list = [q_list, q0];
q = q0;
omega = omega0;
while (i * deltaT < T0)
    [q, omega] = one_step(q, omega, w0, deltaT);
    i = i + 1;
    t_list = [t_list, i*deltaT];
    q_list = [q_list, q];
end

end

```

main.m

```

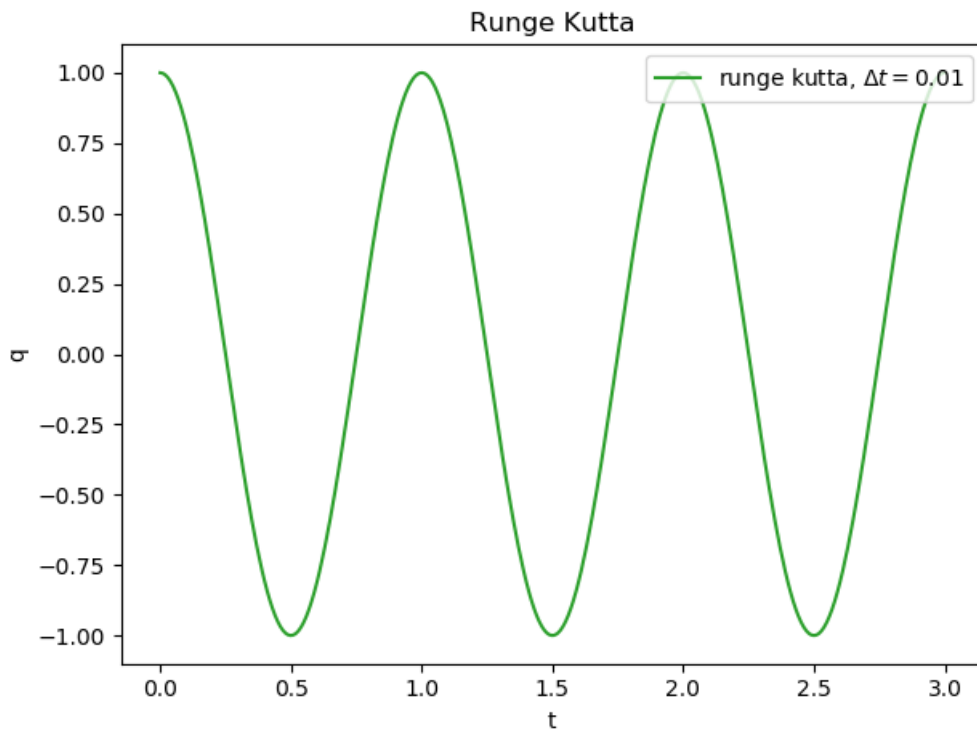
delta_t = 0.01;
T0 = 3;

% etat initial
q0 = 1;
omega0 = 0;
w0 = 2*pi;

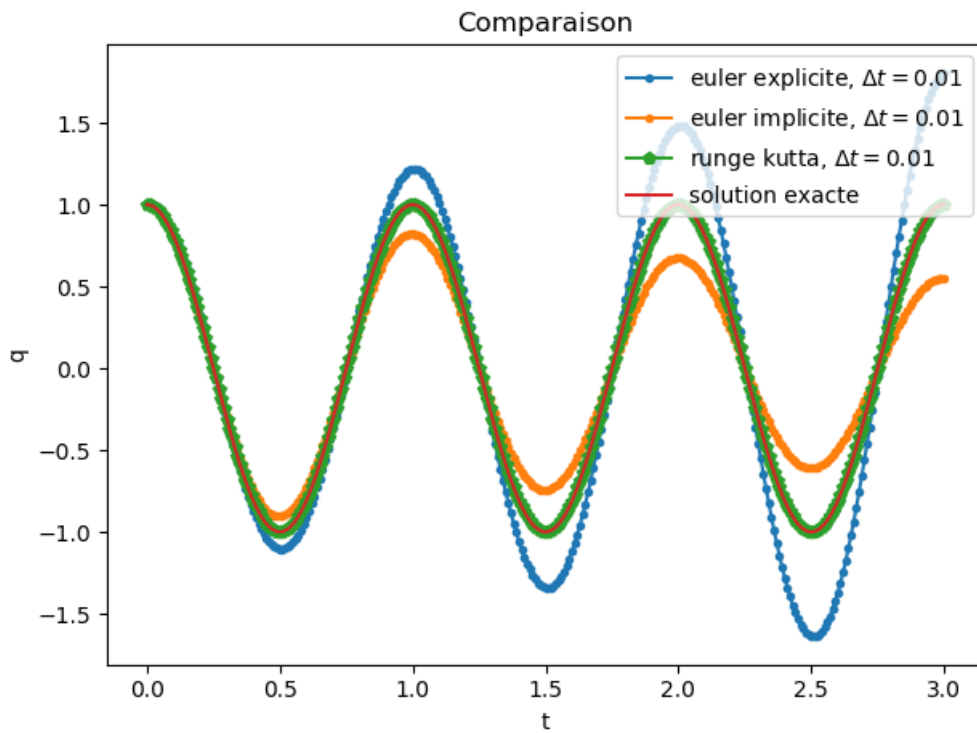
[t_list, q_list] = runge_kutta(delta_t, T0, q0, omega0, w0);
plot(t_list3, q_list3, 'DisplayName', sprintf('runge kutta, dt=%0.2f', delta_t))
ylabel('q')
xlabel('x')
title('Runge Kutta')

```

On a la figure:

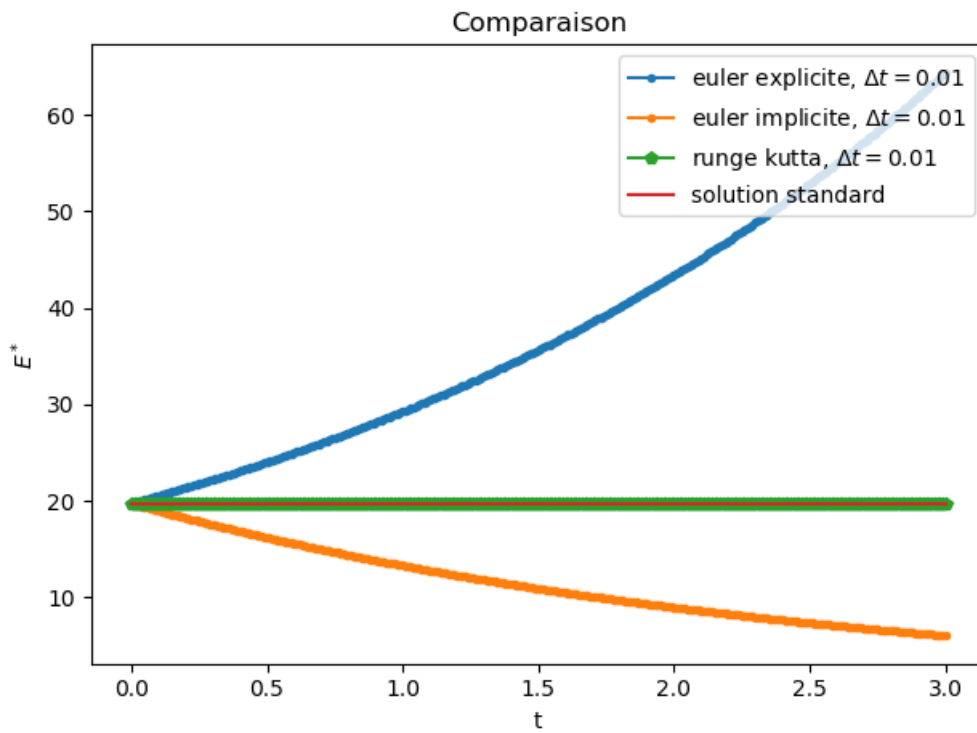


4.3) On a 3 résolutions maintenant.



D'après la figure, on peut voir il y a divergence pour la méthode Euler explicite, il y atténuation pour la méthode Euler implicite. Mais pour la méthode Runge Kutta, on peut voir une très bonne superposition avec la solution standard.

4.4)



L'énergie mécanique reste la même pour la méthode Runge Kutta. On peut voir très clairement une bonne performance pour la méthode Runge Kutta.

5 Newmark

5.1) **Résolution avec un schéma de Newmark** $\gamma = 0.5, \beta = 0.25$

code python:

```

import matplotlib.pyplot as plt
import numpy as np

def calculate_E(q, omega, w0):
    E = 0.5 * (omega * omega + w0 * w0 * q * q)
    return E

def newmark(deltaT, T0, q0, omega0, w0, gamma=0.25, beta=0.5):
    etat_init = np.array([q0, omega0])
    etat_init = etat_init.reshape(-1, 1)
    B = np.array([[1 + beta * deltaT * deltaT * w0 * w0, 0],
                  [gamma * deltaT * w0 * w0, 1]])
    C = np.array([[1 - (0.5 - beta) * deltaT * deltaT * w0 * w0, deltaT],
                  [-(1 - gamma) * deltaT * w0 * w0, 1]])
    B_inv = np.linalg.inv(B)
    A = B_inv.dot(C)

    t_list = []
    q_list = []
    E_list = []

    i = 0
    etat_i = etat_init
    t_list.append(i * deltaT)
    q_list.append(etat_i[0][0])
    E_list.append(calculate_E(etat_i[0][0], etat_i[1][0], w0))

    while (i * deltaT < T0):
        etat_i = A.dot(etat_i)
        i = i + 1
        t_list.append(i * deltaT)
        q_list.append(etat_i[0][0])
        E_list.append(calculate_E(etat_i[0][0], etat_i[1][0], w0))

    return t_list, q_list, E_list

if __name__ == '__main__':
    dt1 = 0.01
    dt2 = 0.02
    T0 = 3
    q0 = 1
    omega0 = 0
    w0 = 2 * np.pi

    t_list4, q_list4, e_list4 = newmark(dt1, T0, q0, omega0, w0, gamma=0.5, beta=0.25)

    plt.plot(t_list4, q_list4, color="C4", marker="x", label="Newmark,  $\Delta t = {}$".format(dt1))
    plt.plot(t_list1, np.cos(2 * np.pi * np.array(t_list1)), color="C3", label="solution exacte")

    plt.ylabel("q")
    plt.xlabel("t")
    plt.legend(loc="upper right")
    plt.show()$ 
```

code matlab

calculate_E.m

```

function E = calculate_E(q, omega, w0)

E = 0.5 * (omega * omega + w0 * w0 * q * q);

end

```

newmark.m

```
function [t_list, q_list, E_list] = newmark(deltaT, T0, q0, omega0, w0, gamma, beta)

etat_init = [q0, omega0];
etat_init = etat_init';
B = [1 + beta * deltaT * deltaT * w0 * w0, 0;
     gamma * deltaT * w0 * w0, 1];
C = [1 - (0.5 - beta) * deltaT * deltaT * w0 * w0, deltaT;
     -(1 - gamma) * deltaT * w0 * w0, 1];
B_inv = inv(B);
A = B_inv*C;

t_list = [];
q_list = [];
E_list = [];

i = 0;
etat_i = etat_init;
t_list = [t_list, i*deltaT];
q_list = [q_list, etat_i(1,1)];
E_list = [E_list, calculate_E(etat_i(1, 1), etat_i(2, 1), w0)];

while (i * deltaT < T0)
    etat_i = A*etat_i;
    i = i + 1;
    t_list = [t_list, i*deltaT];
    q_list = [q_list, etat_i(1, 1)];
    E_list = [E_list, calculate_E(etat_i(1, 1), etat_i(2, 1), w0)];
end

end
```

main.m

```
dt1 = 0.01;
dt2 = 0.02;
T0 = 3;
q0 = 1;
omega0 = 0;
w0 = 2 * pi;

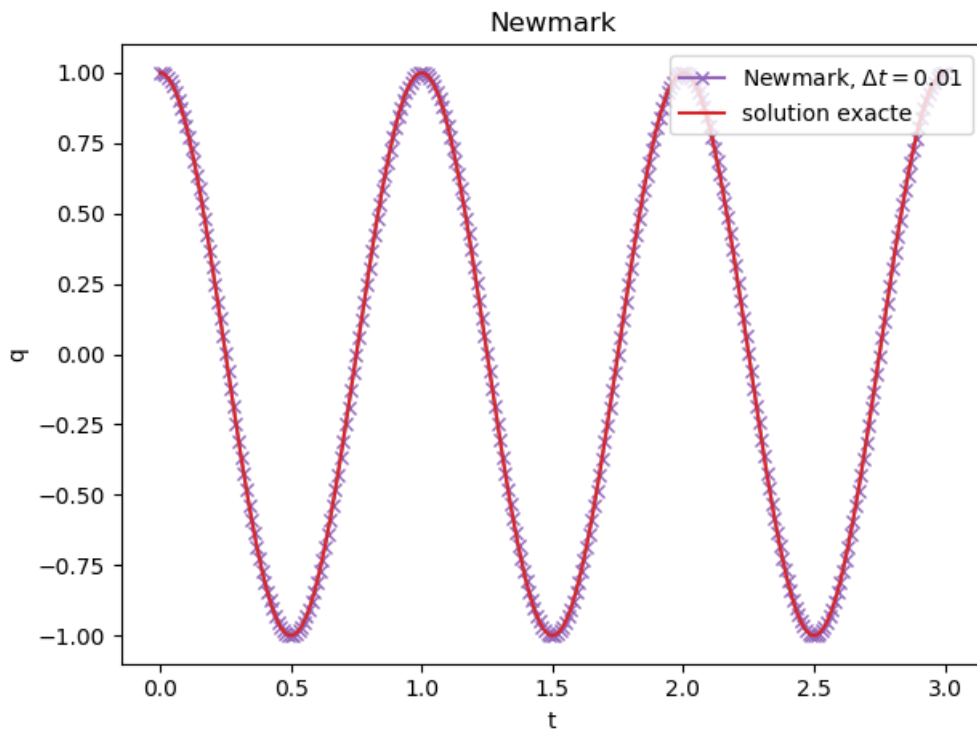
gamma = 0.5;
beta = 0.25;

[t_list4, q_list4, e_list4] = newmark(dt1, T0, q0, omega0, w0, gamma, beta);

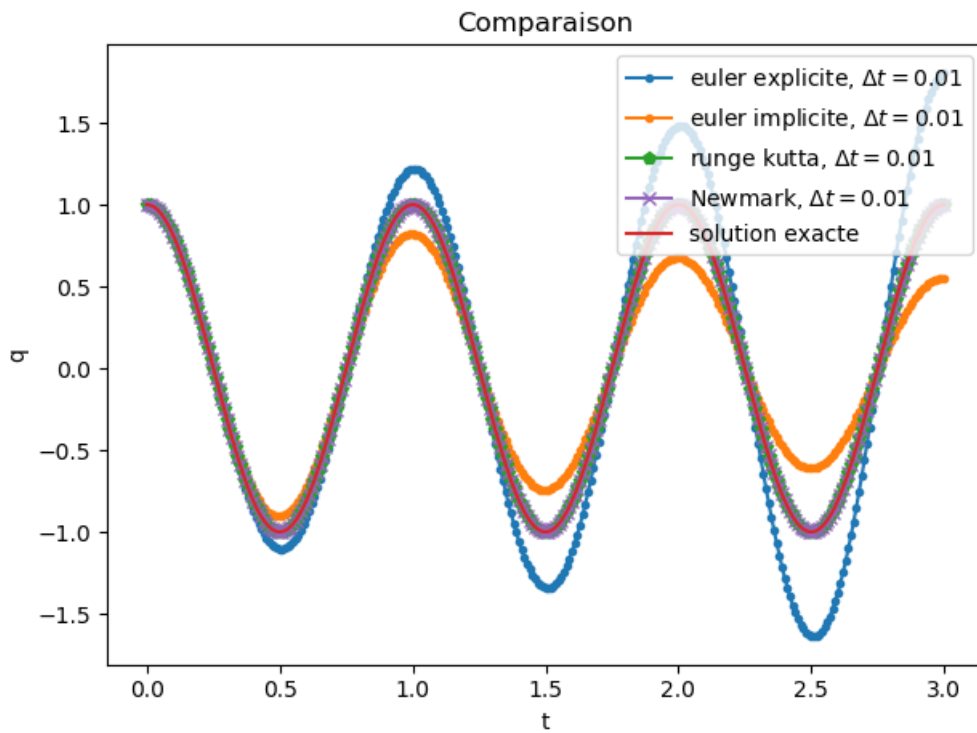
plot(t_list4, q_list4, 'DisplayName', sprintf('Newmark, dt=%0.2f', dt1))
hold on
plot(t_list4, cos(2 * pi * t_list4), 'DisplayName', 'solution exacte')

ylabel('q')
xlabel('t')
```

On a la figure pour la méthode Newmark:



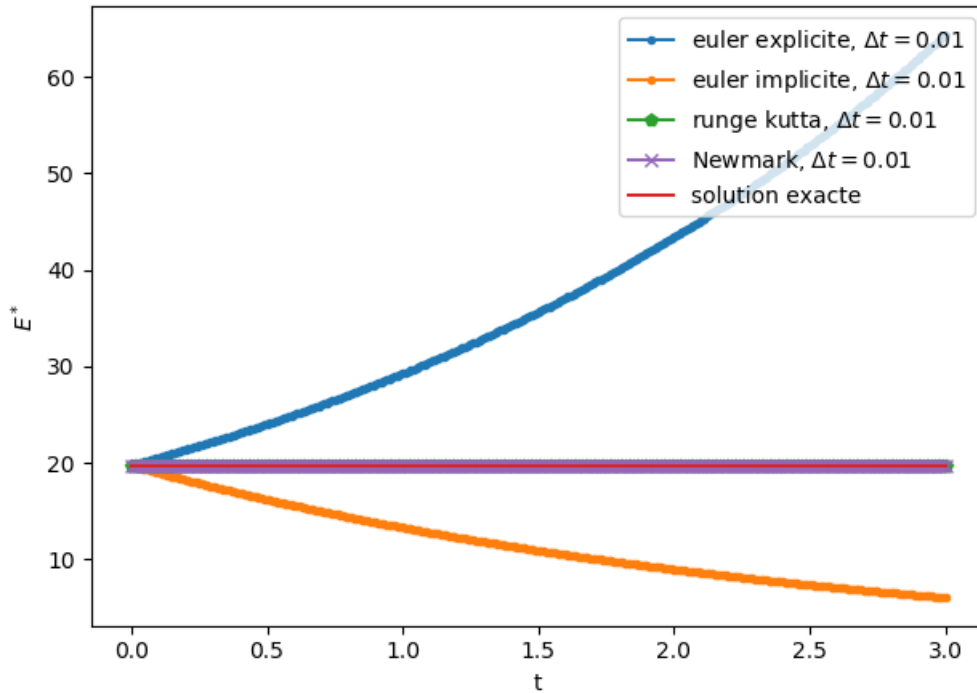
5.1.2) Comparaison avec autre methodes:



Il y a une bonne superposition entre la Méthode Runge Kutta et Newmark et la solution standard.

5.1.3) Comparaison avec autre méthodes pour E^*

Comparaison



On peut voir très clairement, il y a une très bonne superposition entre la méthode Runge Kutta, Newmark et la méthode analytique. Mais pour Euler explicite, il y a une augmentation de l'énergie mécanique. Pour Euler implicite, il y a une déclin de l'énergie mécanique.

5.1.4) Pour calculer les valeurs propres. Il faut d'abord savoir B^{-1}

En fait,

$$B^{-1} = \frac{adj(B)}{det(B)}$$

comme on a

$$B = \begin{bmatrix} 1 + \beta\Delta^2tw_0^2 & 0 \\ \gamma\Delta tw_0^2 & 1 \end{bmatrix}$$

On a donc

$$adj(B) = \begin{bmatrix} 1 & 0 \\ -\gamma\Delta tw_0^2 & 1 + \beta\Delta^2tw_0^2 \end{bmatrix}$$

Puis on calcule

$$det(B) = 1 + \beta\Delta^2tw_0^2$$

Donc on a B^{-1}

$$B^{-1} = \begin{bmatrix} \frac{1}{1 + \beta\Delta^2tw_0^2} & 0 \\ \frac{-\gamma\Delta tw_0^2}{1 + \beta\Delta^2tw_0^2} & 1 \end{bmatrix}$$

On sait que C

$$C = \begin{bmatrix} 1 - (0.5 - \beta)\Delta^2tw_0^2 & \Delta t \\ -(1 - \gamma)\Delta tw_0^2 & 1 \end{bmatrix}$$

Donc on peut calculer A maintenant:

$$A = B^{-1} \times C$$

$$A = \begin{bmatrix} 1 - \frac{0.5\Delta^2 tw_0^2}{1+\beta\Delta^2 tw_0^2} & \frac{\Delta t}{1+\beta\Delta^2 tw_0^2} \\ (-\gamma\Delta tw_0^2)(1 - \frac{0.5\Delta^2 tw_0^2}{1+\beta\Delta^2 tw_0^2}) - (1-\gamma)\Delta tw_0^2 & 1 - \frac{\gamma\Delta^2 tw_0^2}{1+\beta\Delta^2 tw_0^2} \end{bmatrix}$$

Donc on peut calculer $\det(\lambda I - A)$

$$\det(\lambda I - A) = \begin{vmatrix} \lambda - (1 - \frac{0.5\Delta^2 tw_0^2}{1+\beta\Delta^2 tw_0^2}) & \frac{-\Delta t}{1+\beta\Delta^2 tw_0^2} \\ \gamma\Delta tw_0^2(1 - \frac{0.5\Delta^2 tw_0^2}{1+\beta\Delta^2 tw_0^2}) + (1-\gamma)\Delta tw_0^2 & \lambda - (1 - \frac{\gamma\Delta^2 tw_0^2}{1+\beta\Delta^2 tw_0^2}) \end{vmatrix}$$

Quand $\gamma = 0.5, \beta = 0.25$, on a

$$\det(\lambda I - A) = \begin{vmatrix} \lambda - \frac{1-0.25\Delta^2 tw_0^2}{1+0.25\Delta^2 tw_0^2} & \frac{-\Delta t}{1+0.25\Delta^2 tw_0^2} \\ \frac{\Delta tw_0^2}{1+0.25\Delta^2 tw_0^2} & \lambda - \frac{1-0.25\Delta^2 tw_0^2}{1+0.25\Delta^2 tw_0^2} \end{vmatrix}$$

Puis on peut obtenir les valeur propre:

$$\lambda_1 = 1 - \frac{0.5\Delta^2 tw_0^2}{1 + 0.25\Delta^2 tw_0^2} + i \frac{\Delta tw_0}{1 + 0.25\Delta^2 tw_0^2}$$

$$\lambda_2 = 1 - \frac{0.5\Delta^2 tw_0^2}{1 + 0.25\Delta^2 tw_0^2} - i \frac{\Delta tw_0}{1 + 0.25\Delta^2 tw_0^2}$$

On a vu $|\lambda| = 1$, Donc il est bien stable.

5.2) **Résolution avec un schéma de Newmark** $\gamma = 0.5, \beta = 0$

code python:

```

import matplotlib.pyplot as plt
import numpy as np

def calculate_E(q, omega, w0):
    E = 0.5 * (omega * omega + w0 * w0 * q * q)

def newmark(deltaT, T0, q0, omega0, w0, gamma=0.25, beta=0.5):
    etat_init = np.array([q0, omega0])
    etat_init = etat_init.reshape(-1, 1)
    B = np.array([[1 + beta * deltaT * deltaT * w0 * w0, 0],
                  [gamma * deltaT * w0 * w0, 1]])
    C = np.array([[1 - (0.5 - beta) * deltaT * deltaT * w0 * w0, deltaT],
                  [-(1 - gamma) * deltaT * w0 * w0, 1]])
    B_inv = np.linalg.inv(B)
    A = B_inv.dot(C)

    t_list = []
    q_list = []
    E_list = []

    i = 0
    etat_i = etat_init
    t_list.append(i * deltaT)
    q_list.append(etat_i[0][0])
    E_list.append(calculate_E(etat_i[0][0], etat_i[1][0], w0))

    while (i * deltaT < T0):
        etat_i = A.dot(etat_i)
        i = i + 1
        t_list.append(i * deltaT)
        q_list.append(etat_i[0][0])
        E_list.append(calculate_E(etat_i[0][0], etat_i[1][0], w0))

    return t_list, q_list, E_list

if __name__ == '__main__':
    dt1 = 0.01
    dt2 = 0.05
    dt3 = 1
    T0 = 3
    q0 = 1
    omega0 = 0
    w0 = 2 * np.pi

    gamma = 0.5
    beta = 0

    t_list4, q_list4, e_list4 = newmark(dt1, T0, q0, omega0, w0, gamma=gamma, beta=beta)

    plt.plot(t_list4, q_list4, color="C4", marker="x", label="Newmark,  $\Delta t = {}$".format(dt1))
    plt.plot(t_list1, np.cos(2 * np.pi * np.array(t_list1)), color="C3", label="solution exacte")

    plt.ylabel("q")
    plt.xlabel("t")
    plt.legend(loc="upper right")
    plt.show()$ 
```

code matlab

calculate_E.m

```

function E = calculate_E(q, omega, w0)
    E = 0.5 * (omega * omega + w0 * w0 * q * q);
end

```

newmark.m

```
function [t_list, q_list, E_list] = newmark(deltaT, T0, q0, omega0, w0, gamma, beta)
```

```
etat_init = [q0, omega0];
etat_init = etat_init';
B = [1 + beta * deltaT * deltaT * w0 * w0, 0;
     gamma * deltaT * w0 * w0, 1];
C = [1 - (0.5 - beta) * deltaT * deltaT * w0 * w0, deltaT;
     -(1 - gamma) * deltaT * w0 * w0, 1];
B_inv = inv(B);
A = B_inv*C;

t_list = [];
q_list = [];
E_list = [];

i = 0;
etat_i = etat_init;
t_list = [t_list, i*deltaT];
q_list = [q_list, etat_i(1, 1)];
E_list = [E_list, calculate_E(etat_i(1, 1), etat_i(2, 1), w0)];
```

```
while (i * deltaT < T0)
    etat_i = A*etat_i;
    i = i + 1;
    t_list = [t_list, i*deltaT];
    q_list = [q_list, etat_i(1, 1)];
    E_list = [E_list, calculate_E(etat_i(1, 1), etat_i(2, 1), w0)];
end
```

```
end
```

```
main.m
```

```
dt1 = 0.01;
dt2 = 0.05;
dt3 = 1;
T0 = 3;
q0 = 1;
omega0 = 0;
w0 = 2 * pi;

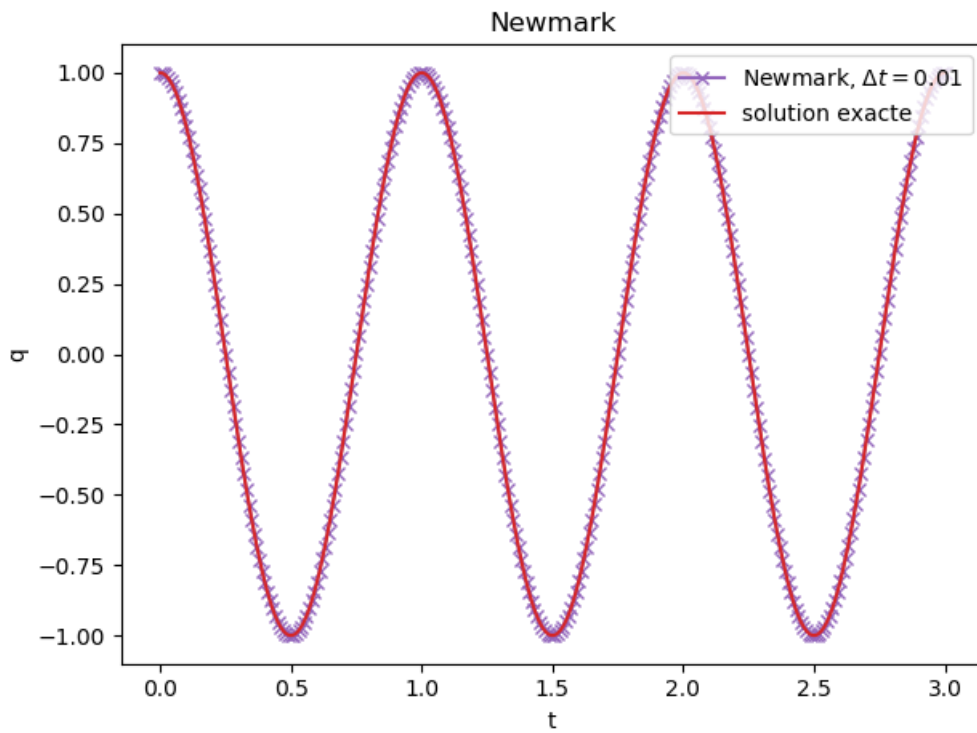
gamma = 0.5;
beta = 0;

[t_list4, q_list4, e_list4] = newmark(dt1, T0, q0, omega0, w0, gamma, beta);

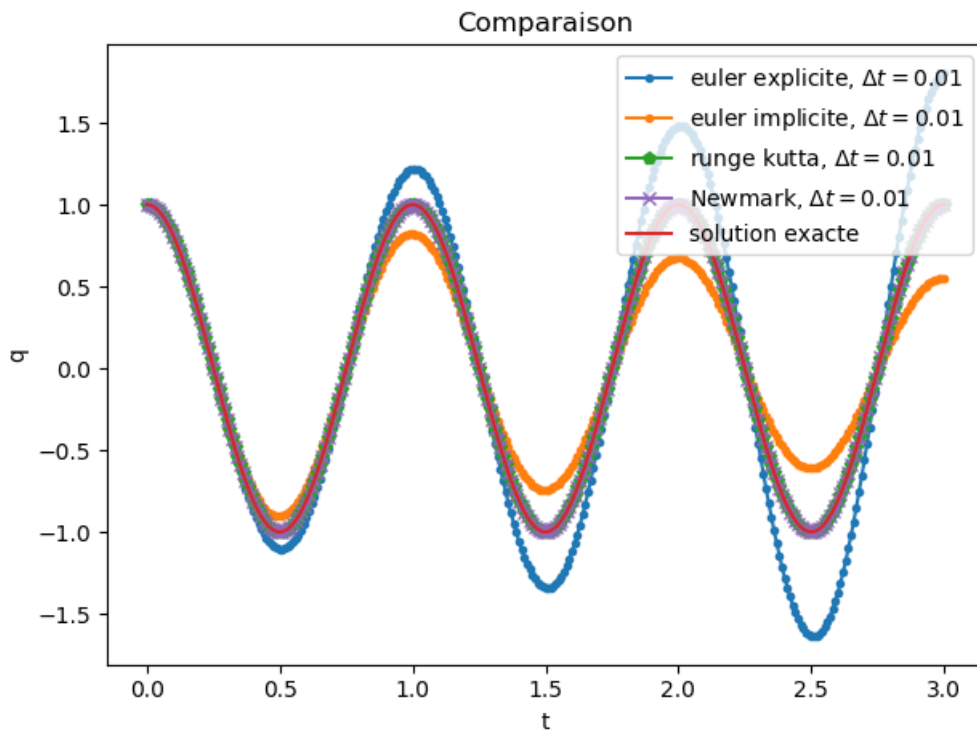
plot(t_list4, q_list4, 'DisplayName', sprintf('Newmark, dt=%0.2f', dt1))
hold on
plot(t_list4, cos(2 * pi * t_list1), 'DisplayName', 'solution exacte')

ylabel('q')
xlabel('t')
title('Newmark')
```

On a la figure pour la méthode Newmark:

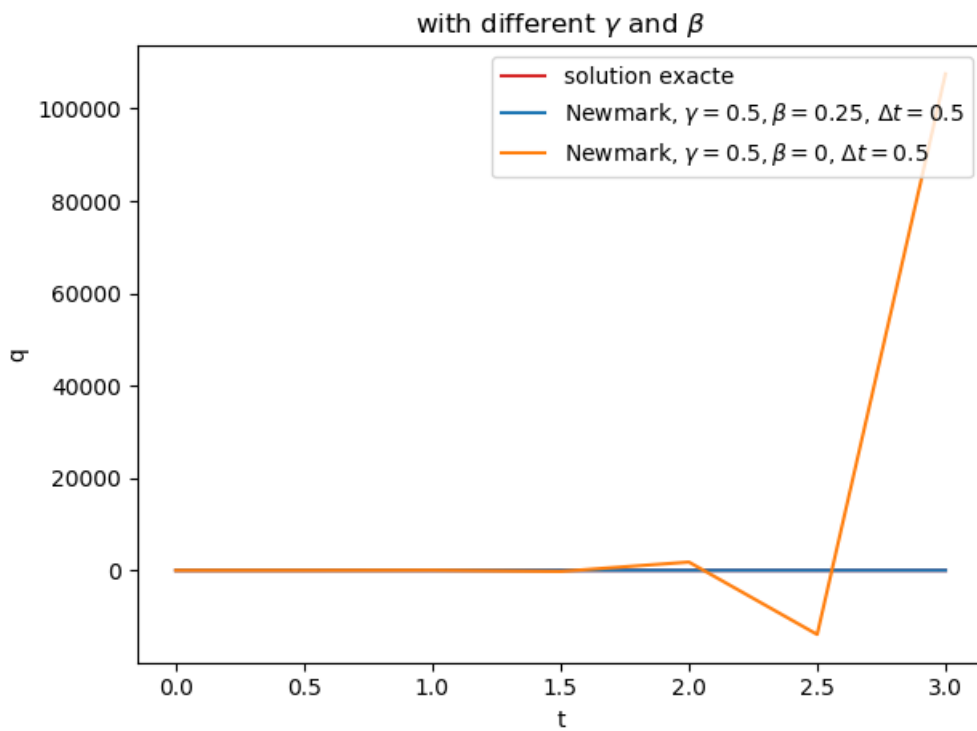
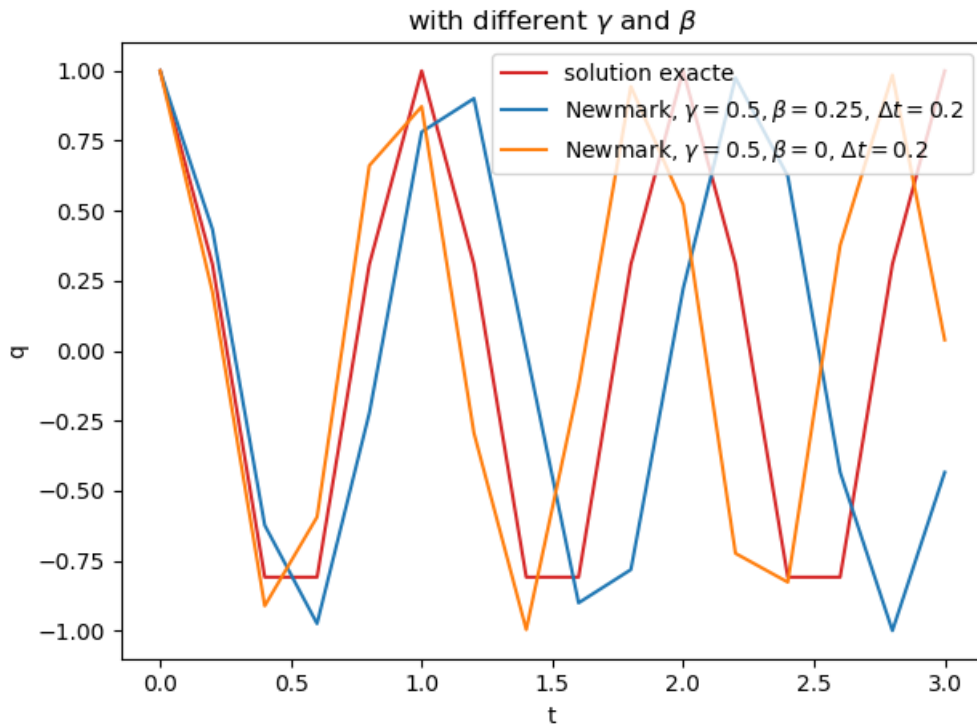


5.2.2) Comparaison avec autre methodes:



Il y a une bonne superposition entre la Méthode Runge Kutta et Newmark et la solution standard.

5.2.3) Comparaison avec trois solutions: solution exacte, Newmark ($\gamma = 0.5, \beta = 0.25$) et Newmark ($\gamma = 0.5, \beta = 0$)



On peut voir il y a des différences entre les trois solutions. Quand $\Delta t = 0.2$, On a vu deux courbes oscillent autour de la courbe de la solution exacte. Mais quand $\Delta t = 0.5$, il y a une divergence pour la méthode Newmark qui a $\beta = 0$.

5.2.4) D'après la question précédente, on a

$$A = B^{-1} \times C$$

$$A = \begin{bmatrix} 1 - \frac{0.5\Delta^2 t w_0^2}{1 + \beta \Delta^2 t w_0^2} & \frac{\Delta t}{1 + \beta \Delta^2 t w_0^2} \\ (-\gamma \Delta t w_0^2) \left(1 - \frac{0.5\Delta^2 t w_0^2}{1 + \beta \Delta^2 t w_0^2}\right) - (1 - \gamma) \Delta t w_0^2 & 1 - \frac{\gamma \Delta^2 t w_0^2}{1 + \beta \Delta^2 t w_0^2} \end{bmatrix}$$

Donc on peut calculer $\det(\lambda I - A)$

$$\det(\lambda I - A) = \begin{vmatrix} \lambda - \left(1 - \frac{0.5\Delta^2 tw_0^2}{1 + \beta\Delta^2 tw_0^2}\right) & \frac{-\Delta t}{1 + \beta\Delta^2 tw_0^2} \\ \gamma\Delta tw_0^2 \left(1 - \frac{0.5\Delta^2 tw_0^2}{1 + \beta\Delta^2 tw_0^2}\right) + (1 - \gamma)\Delta tw_0^2 & \lambda - \left(1 - \frac{\gamma\Delta^2 tw_0^2}{1 + \beta\Delta^2 tw_0^2}\right) \end{vmatrix}$$

Quand $\gamma = 0.5, \beta = 0$, on a

$$\det(\lambda I - A) = \begin{vmatrix} \lambda - (1 - 0.5\Delta^2 tw_0^2) & -\Delta t \\ 0.5\Delta tw_0^2(2 - 0.5\Delta^2 tw_0^2) & \lambda - (1 - 0.5\Delta^2 tw_0^2) \end{vmatrix}$$

Puis on peut obtenir les valeur propre:

$$\lambda = 1 - 0.5\Delta^2 tw_0^2 \pm iw_0\Delta t\sqrt{1 - 0.25\Delta^2 tw_0^2}$$

Proposons que $\Delta tw_0 = r$

Donc on a

$$|\lambda| = (1 - 0.5r^2)^2 + r^2(1 - 0.25r^2) = 1$$

Donc il est suffit pour mettre r quelconque pour mettre le courbe stable. Donc le pas de temps critique est

$$\Delta t = \alpha \times \frac{2}{w_0}$$